Fe₃O₄/MAl水滑石(M=Zn、Co、Ni)复合物 光催化降解亚甲基蓝的性能、动力学与机理

倪梯铜1 孟 跃*,2 青木功莊*,3 姚屹洋3 唐浩东1 陈爱民1 夏盛杰(1浙江工业大学化学工程学院,杭州 310014) (2湖州学院生命与健康学院,湖州 313000) (3浙江华源颜料股份有限公司,德清 310024)

摘要:基于低成本、无毒害、光吸收性强的四氧化三铁(Fe₃O₄)和大比表面、高稳定性的水滑石(LDHs),制备了 Fe₃O₄@MAI-LDHs (M=Zn、Co、Ni)复合物并用于典型偶氮染料亚甲基蓝的光催化降解。通过 X 射线粉末衍射(XRD)、紫外可见(UV-Vis)吸收光谱、扫描电子显微镜(SEM)、透射电子显微镜(TEM)以及 N₂吸附-脱附测试表征了复合材料的组成与结构。光催化实验表明,最佳反应条件为催化剂用量 50 mg、光照强度 500 W、pH=9、反应温度 40 °C,此时,Fe₃O₄@MAI-LDHs 复合材料对亚甲基蓝的降解率从 LDHs 的 23.2% 大幅提升到 87.0%。 LDHs 对亚甲基蓝的降解主要来自·OH,而 Fe₃O₄@CoAI-LDHs 光降解活性的贡献主要由·OH 和空穴提供。此外,LDHs 和 Fe₃O₄@CoAI-LDHs 的电化学性质也存在较大差异。

关键词:水滑石; Fe₃O₄; 光降解; 亚甲基蓝; 反应机理

中图分类号: 0643.36; 0644.1; X703 文献标识码: A 文章编号: 1001-4861(2022)09-1759-12

DOI: 10.11862/CJIC.2022.171

Photocatalytic Degradation of Methylene Blue by Fe₃O₄@MAl-Layered Double Hydroxides (M=Zn, Co, Ni) Composite: Performance, Kinetics, and Mechanism

NI Ti-Tong¹ MENG Yue^{*,2} KOSO Aoki^{*,3} YAO Yi-Yang³ TANG Hao-Dong¹ CHEN Ai-Min¹ XIA Sheng-Jie¹

(¹College of Chemical Engineering, Zhejiang University of Technology, Hangzhou 310014, China) (²Department of Life and Health Sciences, Huzhou College, Huzhou, Zhejiang 313000, China) (³Zhejiang Huayuan Pigment Co., Ltd., Deqing, Zhejiang 310024, China)

Abstract: Based on low-cost, non-toxic, and strong light absorption ferric oxide (Fe₃O₄) and layered double hydroxides (LDHs) with large specific surface and high stability, Fe₃O₄@MAl-LDHs (M=Zn, Co, Ni) composites were prepared and used for photocatalytic degradation of methylene blue. The composition and structure of the composites were characterized by X-ray powder diffraction (XRD), UV-Vis absorption spectroscopy, scanning electron microscopy (SEM), transmission electron microscopy (TEM), and N₂ adsorption-desorption test. The optimum conditions were as follows: the amount of catalyst was 50 mg, the light intensity was 500 W, the pH value was 9, and the reaction temperature was 40 $^{\circ}$ C. The degradation rate of methylene blue increased significantly from 23.2% of LDHs to 87.0% of Fe₃O₄@MAl-LDHs. The degradation of methylene blue by LDHs mainly comes from $^{\circ}$ OH, while the photodegradation activity of Fe₃O₄@MAl-LDHs is mainly contributed by both $^{\circ}$ OH and holes. In addition, there were also great differences in the electrochemical properties of LDHs and Fe₃O₄@MAl-LDHs.

Keywords: layered double hydroxides; Fe₂O₄; photodegradation; methylene blue; reaction mechanism

0 引言

合成染料广泛应用于纺织、制革、造纸、食品、 农业、美容及光伏发电等行业,而随之产生的染料 污染物通过各种途径进入环境,造成了环境污染[1]。 染料分子具有复杂且稳定的化学结构,不易被降 解。当前,通常采用物理法、化学法或生物法降解 染料废水[2]。但实际处理过程中却面临很多困难, 如混凝和沉淀过程虽能有效降低不溶性染料的色 度,但是对可溶性染料处理效果不佳;生物处理可 以高效去除化学需氧量(COD)和悬浮物(SS),但是无 法有效降低色度图。目前一些物理化学方法虽可去 除染料污染物的色度,包括物理吸附、化学氧化和 反渗透膜处理工艺等,但这些技术的使用成本很 高,并且面临需大量使用化学药剂等实际问题。此 外,氧化过程会产生不完全降解产物,如具有高毒 性和致癌性的联苯胺和芳香化合物™。因此,上述 技术当前无法大规模应用于实际染料废水的 处理[5]。

光催化反应可产生具有强氧化性的羟基自由基(·OH)和超氧自由基(·O₂·)等,其能无选择性地氧化染料废水中的有机污染物,可用于染料废水的处理^[6]。另外,光催化技术具有低成本、无污染且操作简单的优点,具有潜在的处理染料废水的价值^[7]。开发成本低廉、制备简单、材料来源广泛的可利用太阳光或可见光等自然光源的新型催化剂,对缓解能源短缺和促进污染治理具有重要意义。

异质结(heterojunction)光催化剂的光生电子可 在两相的导带(CB)和价带(VB)间传递,其具有载流 子分离效率高、氧化还原能力强的优点,近年来被 广泛应用于光催化的各个领域[8-10]。而在异质结催 化剂的构建中两相的选择至关重要。层状双金属 氢氧化物,即水滑石(layered double hydroxides, LDHs),由于具有窄禁带宽度、大表面积、高稳定性 及结构可调变性等优点,是构建异质结催化剂的良 好选择[11-12]。LDHs 是由正电荷层板与层间阴离子 有序组装形成的化合物,化学通式为[M²+,-,M³+,(OH),] $[(A^{n-})_{s/n} \cdot mH_2O]$,其中 M^{2+} 为二价金属阳离子, M^{3+} 一般 为三价金属阳离子或其他高价态的金属阳离子;A"-为无机、有机或配位阴离子[13-14]。不改变 LDHs 结构 的前提下,在其层板或层间引入铬(Cr)、钴(Co)、镍 (Ni)、铜(Cu)、钛(Ti)和铈(Ce)等金属元素,有利于窄化 材料的禁带宽度,使价电子在可见光照射下更容易 被激发到CB,产生电子-空穴对,有利于有机物的催

化降解[15-16]。当前,LDHs作为光催化剂已被广泛应 用于各种有机污染物的降解,包括甲基橙[17]、亚甲基 蓝[18]、罗丹明 B[19]等偶氮染料类,以及多环芳烃类[20]、 杂环化合物[21]、酚类[22]等持久性有机污染物(POPs) 等。然而,LDHs的低载流子传输速率及高电子和 空穴复合率大大限制了其光催化活性[18]。大量研究 表明,构建金属氧化物的复合物是改善LDHs载流 子复合的有效方法[19-20]。如Zhang等将Bi₂O₃与CoCr-LDHs 复合,用于罗丹明 B 的光催化降解,反应 180 min后25 mg复合物对50 mg·L⁻¹罗丹明B的降解率 高达95%[23]。Xia等合成了核壳结构的CeO,@ZnCr-LDHs 光催化剂并用于气相甲醛的光催化降解[24]。 由于复合结构大大改善了材料的表面性质和禁带 宽度,限制了光生电子和空穴的复合,加速了光生 电子的传递,使其降解活性提高到单纯LDHs的2.5 倍。

四氧化三铁(Fe₃O₄)由于具有极窄的禁带宽度(约 0.2 eV)且兼具低成本、无毒、光吸收性能强等优点,是研究较为广泛的光催化剂之一^[25]。但是,单纯的 Fe₃O₄通常具有较差的表面性质、较低的结构稳定性和较低的光催化活性,而与其他光催化剂复合形成异质结构可改进上述缺陷并提高催化活性^[26]。因此,我们基于 LDHs,合成了多种 Fe₃O₄@MAI-LDHs (M=Zn、Co、Ni)复合物,用于典型偶氮染料亚甲基蓝的光催化降解。探讨了催化剂用量、光照强度、溶液的 pH 值和反应温度等因素对降解性能的影响,并给出了详细的动力学和热力学分析。此外,从降解过程中自由基的贡献以及电化学性能等角度比较和分析了复合前后 LDHs 的光降解机理的差异。

1 实验部分

1.1 材料的制备

1.1.1 纳米Fe₃O₄的合成

将 10.8 g FeCl₃·6H₂O(40 mmol, 98%)和 36.5 g油酸钠(120 mmol, TCI, 95%)溶解在包含 80 mL 乙醇、60 mL蒸馏水和 140 mL 己烷的混合溶剂中。将所得溶液加热至 70 ℃并保持 4 h。反应完成后, 在分液漏斗中用 30 mL蒸馏水将含有油酸铁配合物的有机层洗涤 3次, 而后将过量己烷蒸发, 形成蜡状固体形式的油酸铁配合物。在室温下, 将 0.8 g上述油酸铁配合物和 0.27 g油酸(90%)溶解在 9.87 g的 1-十八烯(90%)中。将反应混合物以 2 ℃·min⁻¹的恒定速率加热到 310 ℃并保持 30 min 后, 混合物由最初的透明

状变得混浊且呈棕黑色,即得 Fe_3O_4 悬浮液。将其冷却至室温后,加入 4.25~g 正己烷和 10~g 异丙醇以沉淀 Fe_3O_4 。最后,以 8~000~r·min⁻¹的转速重复离心洗涤 3 次(洗涤剂为 30~mL等体积的水和乙醇混合液),得到纳米 Fe_3O_4 。

1.1.2 MAI-LDHs(M=Zn、Co、Ni)的合成

 N_2 保护下,将 0.15 mol $Co(NO_3)_2 \cdot 6H_2O$ 和 0.05 mol $Al(NO_3)_3 \cdot 9H_2O$ 溶于 100 mL去离子水中配成溶液 A。将 0.36 mol NaOH 溶于 100 mL去离子水中形成溶液 B。室温下,在 300 r·min⁻¹ 的搅拌速度下将溶液 A和B同时滴加于含有 50 mL去离子水的三口烧瓶中,控制溶液 pH 值为 8.5~9.0。所得浆液在65 ℃下晶化 24 h,而后经离心、去离子水洗涤至中性,再将样品在 80 ℃下真空干燥 12 h,所得样品为 $CoAl - NO_3 - LDHs$,记为 CoAl - LDHs。将 $Co(NO_3)_2 \cdot 6H_2O$ 替换成 $Ni(NO_3)_2 \cdot 6H_2O$ 和 $Zn(NO_3)_2 \cdot 6H_2O$,可分别得到 NiAl - LDHs 和 ZnAl - LDHs。

1.1.3 Fe₃O₄@MAl-LDHs(M=Zn、Co、Ni)的合成

将 0.5 g Fe_3O_4 和 3 mmol $Co(NO_3)_2 \cdot 6H_2O$ 、1 mmol $Al(NO_3)_3 \cdot 6H_2O$ 、4 mmol NH_4F 、10 mmol 尿素溶于 20 mL去离子水中,超声 15 min 后搅拌 30 min 使反应体系分散均匀。将上述溶液转移至反应釜中(事先用 N_2 排出釜内空气),在 100 °C的烘箱中反应 12 h。反应结束后取出反应釜,自然冷却至室温。将上述溶液用 100 mL去离子水和 100 mL无水乙醇各离心、洗涤 3 次。经 50 °C 真空干燥 12 h 后得到最终产物 Fe_3O_4 @CoAl - LDHs。将 $Co(NO_3)_2 \cdot 6H_2O$ 替换成 $Ni(NO_3)_2 \cdot 6H_2O$ 和 $Zn(NO_3)_2 \cdot 6H_2O$,可得 Fe_3O_4 @NiAl-LDHs和 Fe_3O_4 @ZnAl-LDHs。

1.2 材料表征

采用 X′ Pert PRO型 X 射线粉末衍射仪(XRD)分析样品的晶相,测试条件: Cu Kα辐射(λ=0.154 nm),管压 40 kV,管流 20 mA,扫描范围 10°~80°)。使用扫描电子显微镜(SEM, Gemini 500,德国 Zeiss 公司,工作电压为 20 kV)对制备样品的形貌进行分析。采用 Tecnai G2 F30透射电子显微镜(TEM)对样品结构和尺寸分布等进行研究(加速电压为 300 kV)。采用 Shimadzu-2600型紫外可见漫反射(UV-Vis DRS)光谱仪分析材料对光的吸收性能,以 BaSO₄为背景,在 200~800 nm 范围内进行扫描。采用 Micromeritics 公司的 Tristar II 3020型全自动比表面与孔隙分析仪测定样品的比表面积及孔径分布,比表面积采用 Brunauer-Emmett-Teller(BET)方法分析,孔径分布及

孔体积采用 Brunauer-Joyner-Hallenda(BJH)方法分析。利用 Zahner PP211(Germany)电化学工作站测试样品的 Mott-Sckottky 曲线和电化学阻抗谱,所有测试在标准三电极测试系统中进行,其中,以 0.5 mol·L¹硫酸钠溶液为电解液,饱和甘汞电极(SCE)为参比电极,铂丝为对电极,涂覆在氧化铟锡(ITO)玻璃上的样品膜为工作电极。工作电极制备过程如下:称取 5 mg 粉末样品分散在 2 mL 乙醇溶液中,超声30 min 形成均匀悬浮液,然后将其滴加到 ITO 玻璃(1 cm×2 cm)上并在 80 ℃的烘箱中干燥 1 h。

1.3 光催化降解亚甲基蓝

以照射强度可调(200~600 W)的氙灯为光源模拟可见光(采用滤光片,保持入射光波长在400~800 nm,光源距离反应液约为25 cm)。在一定温度(10~50 °C)和 pH值(3~11)下,向100 mL含有20~60 mg·L⁻¹亚甲基蓝溶液的双层石英反应管中加入一定量(10~50 mg)催化剂。光催化反应前,将反应液在避光条件下搅拌吸附60 min (搅拌速率为300 r·min⁻¹),以达到材料对亚甲基蓝的吸附—脱附平衡。随后开启氙灯,在持续光照和磁力搅拌下进行光催化实验。反应开始后,每隔一定时间取样2 mL,经0.22 μ m有机滤膜过滤后使用紫外可见分光光度计测定滤液在446 nm处的吸光度,经换算可得相应时刻的浓度 c_{ℓ} (mg·L⁻¹)。依据公式 $\mathbf{1}: R = (c_0 - c_{\ell})/c_0 \times 100\%$ 计算亚甲基蓝的降解率(R),其中 c_0 (mg·L⁻¹)是亚甲基蓝的起浓度。

2 结果与讨论

2.1 材料的 XRD 和 UV-Vis 表征

图 1A 是 Fe_3O_4 和 MAI - LDHs(M=Zn、Co、Ni)的 XRD图。由图可知, Fe_3O_4 具有明显的(220)、(311)、(400)、(511)和(440)晶面衍射峰,与标准卡片(PDF No.16-0629)完全一致^[27]。3 种 MAI-LDHs 包含了典型 LDHs 材料^[28]的(003)、(006)、(009/012)、(015)、(018)、(110)和(113)等晶面特征峰。此外, Fe_3O_4 @ MAI-LDHs 的 XRD图(图 1B)表明,复合后 3 种材料中不仅保留了水滑石的主要特征峰,同时还出现了 Fe_3O_4 的特征峰,表明 Fe_3O_4 @MAI-LDHs 复合材料的成功合成。由于合成过程中 Fe_3O_4 部分转化为 Fe_2O_3 ,因此 Fe_3O_4 @ZnAI-LDHs 中出现了一些代表 Fe_2O_3 的杂峰。

采用 UV-Vis DRS 谱图研究了催化剂的光吸收性能和带隙结构,结果列于图 1C。3 种 MAI-LDHs

在 200~800 nm 范围内均有吸收,尤其是 CoAl-LDHs 和 NiAl-LDHs,其分别在约 530 和约 660 nm 处有较强的可见光吸收峰。值得注意的是, Fe_3O_4 @MAl-LDHs 中出现了与 MAl-LDHs 相似的可见光吸收峰,并且强度更高,说明 Fe_3O_4 和 MAl-LDHs 的复合有效提升了材料的可见光吸收性能。由 $h\nu$ vs $(\alpha h\nu)^2$ 曲线的切线与横坐标轴的截距可得到样品的禁带宽度,

结果列于图 1D和 $1E^{[29]}$ 。从中可以看出,MAI-LDHs 的禁带宽度为 $2.57\sim3.11$ eV,而 Fe_3O_4 @MAI-LDHs 的禁带宽度为 $2.29\sim2.69$ eV,后者的禁带宽度明显减小,进一步说明复合过后的水滑石对可见光的利用率增强。 3 种复合体系的禁带宽度顺序为 Fe_3O_4 @CoAl-LDHs> Fe_3O_4 @NiAl-LDHs> Fe_3O_4 @ZnAl-LDHs。

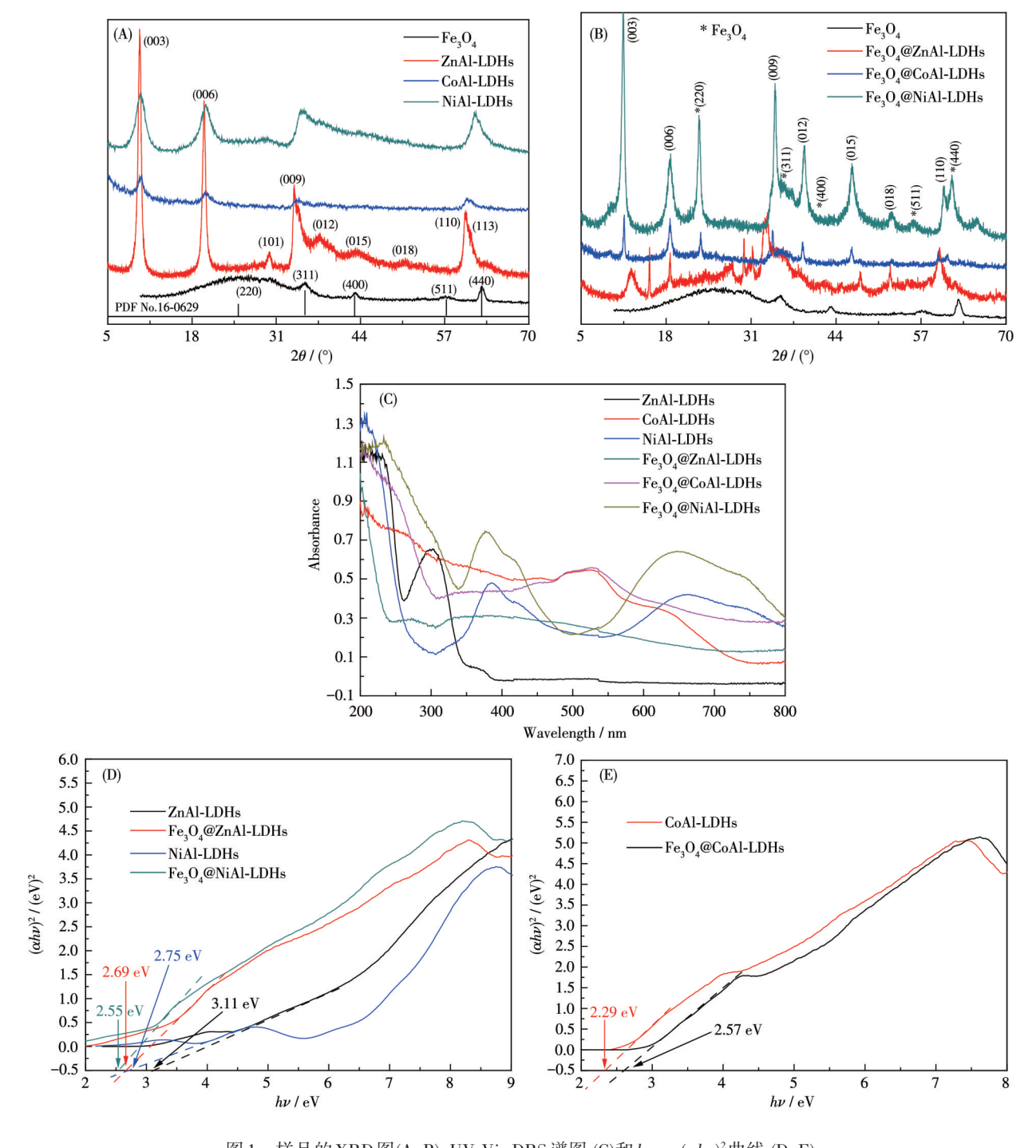


图 1 样品的 XRD 图 (A 、B) 、UV-Vis DRS 谱图 (C)和 $h\nu$ vs $(\alpha h\nu)^2$ 曲线 (D 、E)

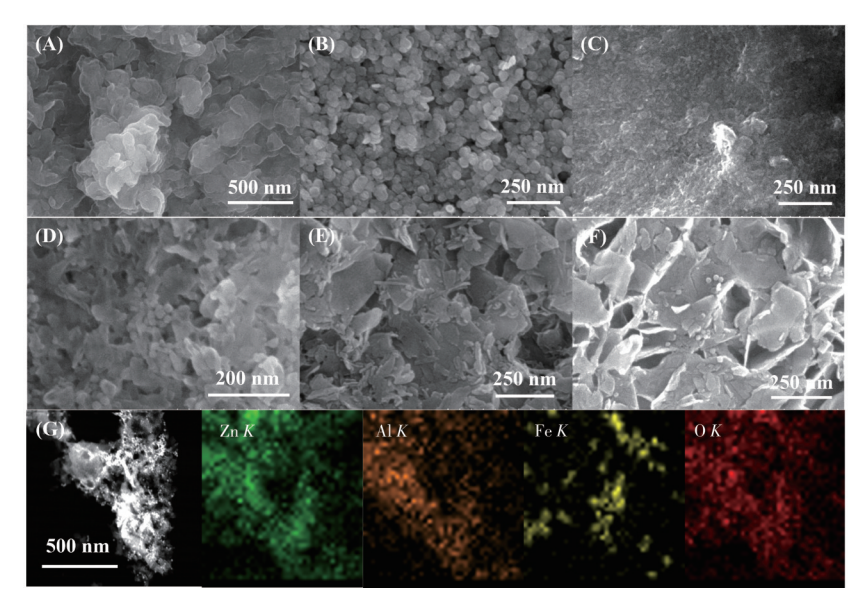
Fig. 1 XRD patterns (A, B), UV-Vis DRS spectra (C), and plots of $h\nu$ vs $(\alpha h\nu)^2$ (D, E) of the samples

2.2 材料的 SEM 和 TEM 表征

图 2A~2F是 MAI-LDHs 和 Fe₃O₄@MAI-LDHs 的 SEM 图。从中可以看出, MAI-LDHs 的片有序堆叠在一起,呈现出明显的层状结构(图 2A~2C)。对于3种 Fe₃O₄@MAI-LDHs 材料,由于 Fe₃O₄纳米颗粒的复合, MAI-LDHs 层状堆叠的结构得到完好的保持且其表面分散着大量不规则的颗粒(图 2B~2D)。从

 Fe_3O_4 @ZnAl-LDHs的元素映射图和线扫图结果(图 2G 和表 S1, Supporting information)中可以清晰地看到, Fe_3O_4 见 和 Al 均匀分布在所选区域,同时,4种元素的含量与预期的结果基本一致,这进一步证实了合成的材料为 Fe_3O_4 @ZnAl-LDHs。

图 3 是 CoAl - LDHs、Fe₃O₄ 纳 米 粒 子 和Fe₃O₄@CoAl-LDHs的TEM图。CoAl-LDHs呈现出不



 $(A)\ ZnAl-LDHs,\\ (B)\ CoAl-LDHs,\\ (C)\ NiAl-LDHs,\\ (D)\ Fe_3O_4@ZnAl-LDHs,\\ (E)\ Fe_3O_4@CoAl-LDHs,\\ (F)\ Fe_3O_4@NiAl-LDHs,\\ and\\ (G)\ Fe_3O_4@ZnAl-LDHs,\\ (G)\ Fe_3O_4@$

图 2 样品的 SEM 图和元素映射图 Fig.2 SEM images and element mappings of the samples

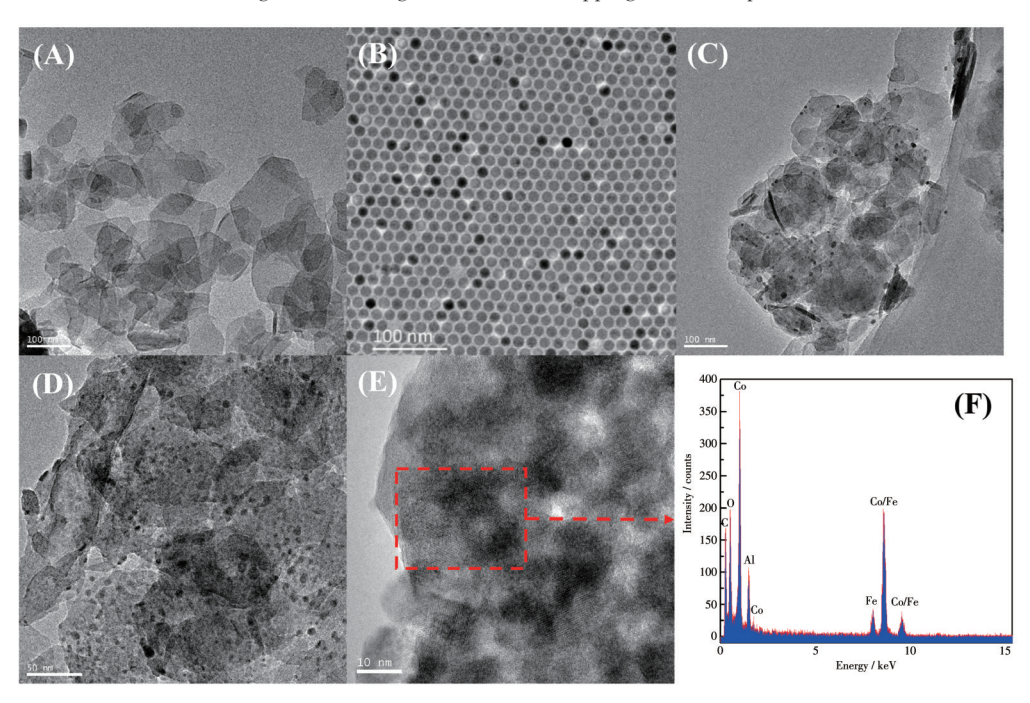


图 3 CoAl-LDHs (A)、Fe₃O₄纳米粒子 (B)、Fe₃O₄@CoAl-LDHs (C~E)的TEM图; Fe₃O₄@CoAl-LDHs 的EDX谱图 (F) Fig.3 TEM images for CoAl-LDHs (A), Fe₃O₄ nanoparticles (B), and Fe₃O₄@CoAl-LDHs (C-E); EDX spectrum of Fe₃O₄@CoAl-LDHs (F)

规则的片状结构,尺寸在 $50\sim150$ nm(图 3A)。合成的 Fe_3O_4 结构规整,尺寸约 14 nm(图 3B)。由不同分辨率的 Fe_3O_4 @CoAl-LDHs 的 TEM 图可以看到(图 $3C\sim3E$),在 LDHs 纳米片上分布着大量的黑色颗粒,结合能量色散 X 射线谱(EDX)谱图分析可知(图 3F),合成的材料是 Fe_3O_4 与 CoAl-LDHs 的复合物。

2.3 材料的 N, 吸附-脱附测试

图 S1 是样品的 N,吸附-脱附等温线及孔径分布 曲线。ZnAl-LDHs、NiAl-LDHs 和 CoAl-LDHs 的吸 附-脱附等温线均具有一个宽的H3型回滞环,可以 归属于Ⅱ型吸附等温线(p/p₀<0.4),表明催化剂中有 介孔的存在[30]。在更高的p/p。处没有出现相应的吸 附,表明材料存在大孔(图S1A、S1C、S1E)。上述3种 材料的比表面积分别为51、56和62 m²·g⁻¹。 Fe₃O₄@ZnAl-LDHs、Fe₃O₄@NiAl-LDHs和Fe₃O₄@CoAl-LDHs的曲线则属于IV型吸附等温线(图S1B、S1D、 S1F),同样具有H3型回滞环,根据IUPAC的分类可 知,其具有一定的介孔结构[31]。对比可知,材料在比 表面积、孔体积及孔径分布等方面存在明显的差 异,其中Fe₃O₄@CoAl-LDHs表现出了最大的比表面 积(105 m²·g⁻¹)、最小的孔体积(0.435 cm³·g⁻¹)和最窄 的孔径分布(最大孔径位于4.6、10.0和54.0 nm处), Fe₃O₄@NiAl-LDHs 的比表面积次之(96 m²·g⁻¹), 而 Fe₃O₄@ZnAl-LDHs 最小(89 m²·g⁻¹)。

2.4 光降解亚甲基蓝的性能和动力学

2.4.1 不同催化剂的影响

在光催化之前,我们进行了黑暗条件下的吸附 实验。结果表明,吸附后,MAI-LDHs和Fe₃O₄@MAI-LDHs 对亚甲基蓝的降解率最高仅为 10.74%, 说明 上述材料对亚甲基蓝的吸附能力有限。后续实验 中的光催化结果均是进行了60 min 暗吸附后的数 据(未扣除吸附数据)。图 4A 是所有样品光催化降 解亚甲基蓝的效果曲线,从中可以看出,3个MAI-LDHs 材料对起始浓度为50 mg·L⁻¹的亚甲基蓝的降 解效果较差,在反应180 min 后达到平衡时的浓度 仍有 38.4~41.5 mg·L⁻¹(降解率为 17.1%~23.2%)。单 纯Fe₃O₄对亚甲基蓝的降解率虽高于MAl-LDHs,但 也仅为 37.8%(平衡时的浓度仍有 31.1 mg·L⁻¹)。而 Fe₃O₄@MAI-LDHs 在同样条件下,对亚甲基蓝的降 解效果有大幅提高,反应180 min 达到平衡时,亚甲 基 蓝 的 浓 度 降 低 至 6.4~17.5 mg·L⁻¹(降 解 率 为 65.1%~87.0%), 光催化性能遵循 Fe₃O₄@CoAl-LDHs> Fe₃O₄@NiAl-LDHs>Fe₃O₄@ZnAl-LDHs的顺序。值得 注意的是,这与材料的禁带宽度和比表面积大小的结果非常吻合,说明较窄的禁带宽度和较大的比表面积对复合水滑石体系较为有利。因此,我们选择CoAl-LDHs和Fe₃O₄@CoAl-LDHs作为模型催化剂进行后续的影响因素和动力学研究。

2.4.2 亚甲基蓝的起始浓度的影响

图 4B 是 CoAl-LDHs 和 Fe_3O_4 @CoAl-LDHs 光催 化降解起始浓度为 $20\sim60~mg\cdot L^{-1}$ 亚甲基蓝的降解率对比图。结果表明,CoAl-LDHs 对亚甲基蓝的降解率整体较低,且随着起始浓度的增大,降解率大幅下降,由最初的 60.5% 下降到 10.4%。而 Fe_3O_4 @CoAl-LDHs 对亚甲基蓝的降解率在不同浓度下均较高,在浓度小于 $50~mg\cdot L^{-1}$ 时下降的幅度较小,但仍大于 86%。而浓度为 $60~mg\cdot L^{-1}$ 时,降解率下降幅度较大,为 68.2%。因此,后续实验选用 $50~mg\cdot L^{-1}$ 亚甲基蓝的起始浓度较为合理。

2.4.3 催化剂用量、光照强度、pH值和反应温度的影响

我们对影响 CoAl-LDHs 和 Fe₃O₄@CoAl-LDHs 光 催化降解亚甲基蓝性能的因素,如催化剂用量、光 照强度、pH值和反应温度等进行了探讨,结果列于 图 4C~4F。从中可以看出,在催化剂用量为20~60 mg、光照强度为200~600 W、pH=3~11、反应温度为 10~50 ℃的条件下, CoAl-LDHs 光降解亚甲基蓝的 降解率在10%~26% 范围内, 而Fe₃O₄@CoAl-LDHs的 降解率在50%~89%范围内,均波动较大。说明上 述因素均明显影响该类材料光催化降解亚甲基蓝 的性能。此外,虽然 CoAl-LDHs 和 Fe₃O₄@CoAl-LDHs对亚甲基蓝的降解率均随着各个影响因素数 值的增大而提高,但可以明显看出当催化剂用量超 过50 mg、光照强度超过500 W、pH>9、反应温度大 于40℃时,降解率的提高效果明显减小。例如,催 化剂用量从 50 mg 增大到 60 mg, 反应温度从 40 ℃ 变化到50℃,降解率从87.0%分别提高到88.4%和 88.1%,幅度较小。因此,考虑到综合效率,我们认 为最佳的反应条件为催化剂用量 50 mg、光照强度 500 W、pH=9、反应温度 40 °C,此时降解率最佳 $(87.0\%)_{\circ}$

2.4.4 光降解过程的动力学分析

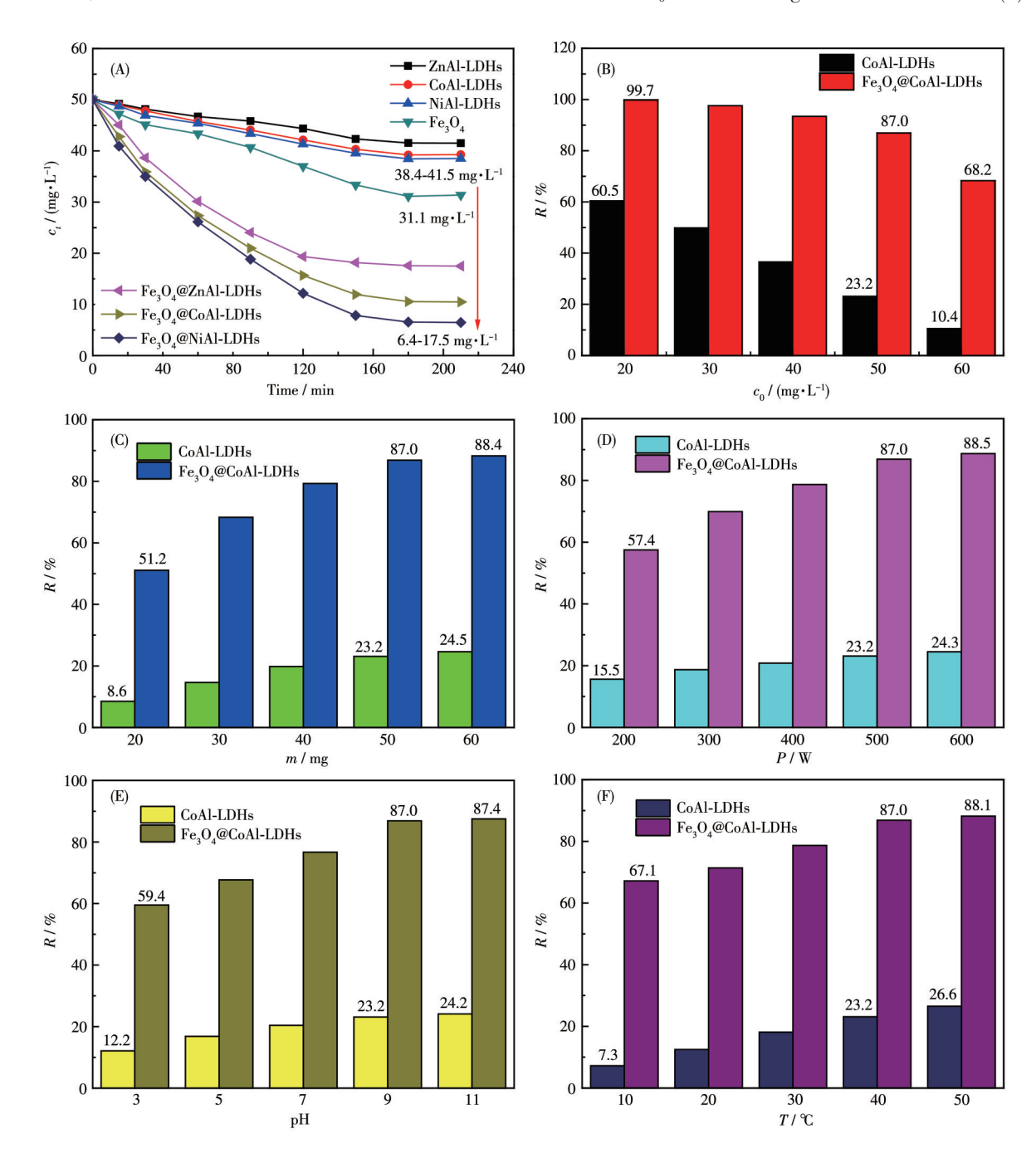
为了探究各个因素对2种催化剂体系影响程度的大小,将光催化数据进行了相应的动力学分析。基于文献报道,光降解的动力学可采用扩展集总动力学模型(extended lumped kinetic model, ELKM)结

合准一级动力学方程拟合^[24]。详细的计算过程如下:

首先,一级动力学方程:

 $\ln(c_t/c_0) = -kt \tag{2}$

其中,k是一级反应的动力学表观速率常数(\min^{-1}); 起始浓度 c_0 固定为 50 $\operatorname{mg} \cdot \operatorname{L}^{-1}$ 。k是反应温度(T)、催



Condition: (A) initial concentration was 50 mg·L⁻¹, catalyst dosage was 50 mg, 500 W xenon lamp, pH value was 9, reaction time was 210 min, the reaction temperature was 40 °C; (B-F) Range of corresponding discussion factors was only changed, and other parameters were fixed as the optimal reaction conditions

图 4 不同催化剂条件下亚甲基蓝的浓度与光照时间的关系 (A); 亚甲基蓝的降解率与起始浓度 (B)、催化剂用量 (C)、光照强度 (D)、pH值 (E)和反应温度 (F)之间的关系

Fig.4 Curves of concentration of methylene blue vs irradiation time using different catalysts (A); Relationship between degradation rate of methylene blue and initial concentrations of methylene blue (B), catalyst dosage (C), irradiation intensity (D), pH values (E), and reaction temperatures (F)

化剂用量(m)、光照强度(P)和 pH 值的函数,具体如下:

$$k = k_0 m^a P^b (\text{pH})^c \tag{3}$$

其中, $a \ b \ c$ 分别是催化剂用量、光照强度和pH值的影响因子; k_0 是反应速率常数。

另外,活化能的计算基于Arrhenius方程:

$$k_0 = A e^{\frac{L_a}{RT}} \tag{4}$$

最终,基于上述计算所得的A(指前因子)、 E_a 、a、b和c的数值,可以得到下述动力学方程:

$$\ln(c_t/c_0) = -A e^{\frac{E_a}{RT}} m^a P^b(\text{pH})^c t \tag{5}$$

基于式2,对各个影响因素的动力学进行了拟 合,结果见图5。从中可以看出,各拟合曲线的相关 系数(R2)均大于0.98,说明实验结果较好地符合准一 级动力学方程。在各个因素下, CoAl-LDHs 的拟合 曲线普遍较为平缓,而Fe₃O₄@CoAl-LDHs的曲线则 比较陡峭,表明后者的速率常数要明显高于前者, 印证了后者反应活性远高于前者的实验结果。基 于式3,我们对催化剂用量、光照强度和pH值的影 响因子也进行了拟合,结果列于图 5B、5D 和 5F。 CoAl-LDHs 和 Fe₃O₄@CoAl-LDHs 的体系中催化剂用 量的影响因子分别为0.7478和0.6869;光照强度的 影响因子分别为 0.433 9和 0.885 1;pH 的影响因子 分别为0.6369和0.9079。上述结果表明,不同因素 对2种催化剂降解亚甲基蓝的影响差异较大。其中 对于CoAl-LDHs,催化剂用量影响最大,pH值次之, 光照强度影响最小;而对于Fe₃O₄@CoAl-LDHs,影响 顺序则为pH值>光照强度>催化剂用量。此外,基 于温度的拟合数据我们计算了2种材料光催化降解 亚甲基蓝的活化能,结果列于图5H。从中可以看 出, CoAl-LDHs 体系的活化能为 28.0 kJ·mol⁻¹, 而 Fe₃O₄@CoAl-LDHs体系则降低为14.5 kJ·mol⁻¹。这 说明,相对于CoAl-LDHs,温度对Fe₃O₄@CoAl-LDHs 光降解亚甲基蓝的影响程度更小,反应更容易进 行。上述动力学和热力学的拟合结果充分表明, MAI-LDHs 经 Fe₃O₄复合后对亚甲基蓝的光降解性能 得到了极大的提升且反应机理也存在较大的差异。

基于上述动力学拟合,CoAl - LDHs 和 Fe_3O_4 @CoAl-LDHs光催化降解亚甲基蓝的动力学参数如下:对于CoAl-LDHs, $A \setminus E_a \setminus a \setminus b$ 和 c 的值分别为 $2.739 \times 10^3 \setminus 28.0 \text{ kJ} \cdot \text{mol}^{-1} \setminus 0.747 \times 0.433 9 \times 0.636 9;$ 对于 Fe_3O_4 @CoAl-LDHs,相应的数值为 $6.631 \times 10^4 \setminus 14.5 \text{ kJ} \cdot \text{mol}^{-1} \setminus 0.686 9 \setminus 0.885 1 \times 0.907 9$ 。据此,2种

体系光催化降解亚甲基蓝的表观动力学方程如下:

$$\ln\left(c_{t}/c_{0}\right) = -2.739 \times 10^{3} e^{\frac{2.80 \times 10^{4}}{RT}} m^{0.7478} P^{0.4339} (\text{pH})^{0.6369} t \quad (\mathbf{6})$$

$$\ln\left(c_{t}/c_{0}\right) = -6.631 \times 10^{4} e^{\frac{1.45 \times 10^{4}}{RT}} m^{0.6869} P^{0.8851} (\text{pH})^{0.9079} t \quad (7)$$

图 S2 是使用前后 Fe₃O₄@CoAl-LDHs 的 SEM 和 TEM 图。从中可以看出,样品的结构和组成并没有 太大变化,证明了 Fe₃O₄@CoAl-LDHs 的结构稳定性。此外,对 CoAl-LDHs 和 Fe₃O₄@CoAl-LDHs 光催化降 解亚甲基蓝的重复利用性能也进行了探讨,结果见图 6A。经过5次重复利用,CoAl-LDHs 的降解率从最初的23.2%降低到21.5%,而Fe₃O₄@CoAl-LDHs 的降解率从87.0%略微减小到84.4%,这充分说明2种催化体系均较为稳定且至少可重复利用5次。

2.5 光降解实验

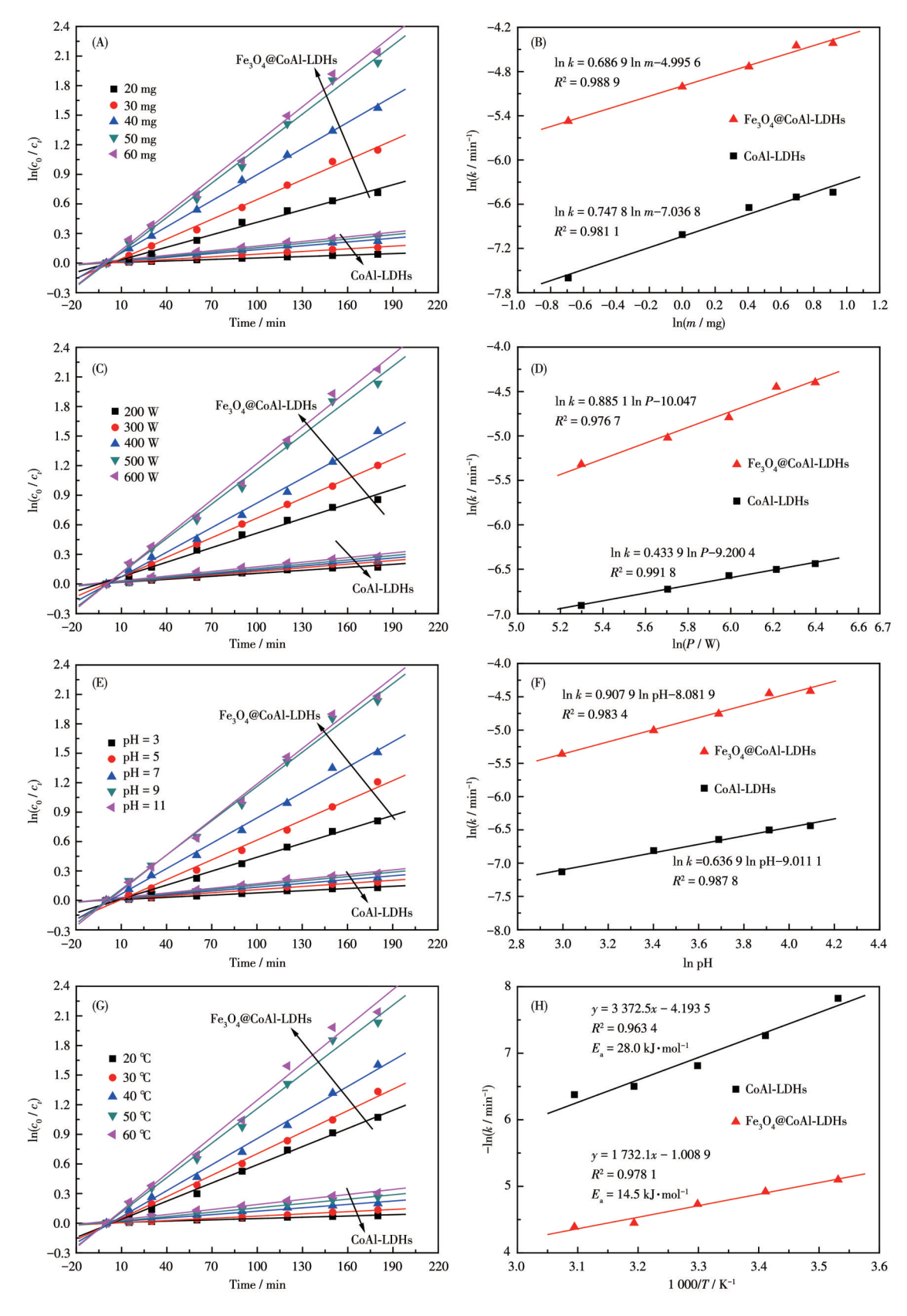
CoAl-LDHs 和 Fe₃O₄@CoAl-LDHs 在催化性能、动力学方程和热力学参数(活化能)等方面存在较大差异,表明2种催化剂光降解亚甲基蓝的催化机理可能也有很大的不同。为此,我们主要从光催化体系的活性自由基、材料的电化学性能等方面,对2种催化剂光降解亚甲基蓝的机理进行探讨。

2.5.1 光降解体系的活性自由基

分别采用5 mmol的异丙醇、乙二胺四乙酸二钠 (EDTA)和对羟基苯醌为抑制剂,进行了·OH、空穴 和·O, 的猝灭实验,结果列于图 6B^[32]。对于 CoAl-LDHs 光催化降解亚甲基蓝的体系, 当·OH、空穴和· O₂分别被抑制时,降解率从最初的(未抑制)23.2% 降低到9.3%、19.7%和20.5%。3种自由基对降解率 的贡献分别为13.8%、3.4%和2.6%,表明CoAl-LDHs 光催化降解亚甲基蓝体系的活性主要来自·OH。而 当3种自由基分别被抑制时,Fe₃O₄@CoAl-LDHs的 降解率从最初的(未抑制)87.0%降低到44.4%、 53.2% 和 80.1%。 ·OH、空 穴 和 ·O₂ 分别 贡献 了 42.6%、33.8%和6.9%的降解率,表明Fe₃O₄@CoAl-LDHs 体系的活性主要来自·OH 和空穴。CoAl-LDHs和Fe₃O₄@CoAl-LDHs体系在活性自由基方面 的不同应该是两者在催化性能和催化机理方面产 生差异的一个重要原因。

2.5.2 光电性能测试

为了更好地理解 CoAl-LDHs 和 Fe₃O₄@CoAl-LDHs 光催化活性特性的差异,2种材料被制作成 ITO 膜电极,并进行了 Mott-Sckottky 和电化学阻抗谱测试,结果如图 6C 和 6D 所示。从 CoAl-LDHs 和 Fe₃O₄@CoAl-LDHs 电极的 Mott-Sckottky 图中可观察



(A, B) Catalyst dosage; (C, D) Irradiation intensity; (E, F) pH value; (G) Reaction temperature

图 5 不同影响因素 (A、C、E、G)和影响因子 (B、D、F)的动力学拟合结果以及相应的活化能(H) Fig.5 Kinetic fitting results of different factors (A, C, E, G), influence factor (B, D, F), and activation energy (H)

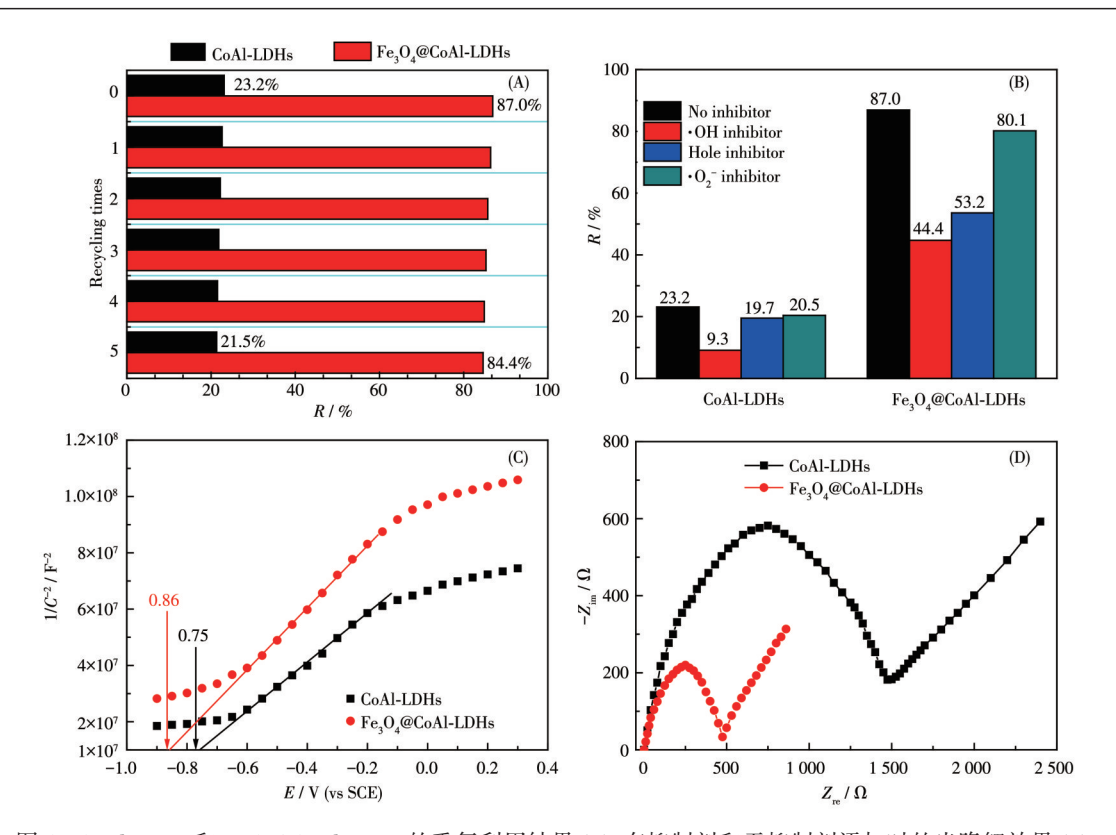


图 6 CoAl-LDHs 和 Fe₃O₄@CoAl-LDHs 的重复利用结果 (A)、有抑制剂和无抑制剂添加时的光降解效果 (B)、Mott-Sckottky 曲线 (C)和 Nyquist 图 (D)

Fig.6 Recycling results (A), photodegradation results with inhibitors and no inhibitor added (B), Mott-Schottky plots (C), and Nyquist plots (D) of CoAl-LDHs and Fe₃O₄@CoAl-LDHs

到完整形状的反转S形(图6C),表明2种材料具有n 型半导体的典型特征[33]。通过线性区域的截距计算 可得出, CoAl-LDHs 和 Fe₃O₄@CoAl-LDHs 的可再现 平带电势(V_a)分别是-0.75和-0.86 V(vs SCE)。与 CoAl-LDHs 相比, Fe₃O₄@CoAl-LDHs 的 V_{tb}出现负移, 说明后者比前者具有更多的表面态,这可能导致带 位置的重大变化[34]。CoAl-LDHs 和 Fe₃O₄@CoAl-LDHs的 Nyquist 图如图 6D 所示。从中可以看到, Fe₃O₄@CoAl-LDHs 的半圆形比 CoAl-LDHs 更小,表 明固态界面层的电阻和电极表面的电荷转移电阻 均所有降低[35]。Fe₃O₄@CoAl-LDHs 具有复合结构, 它含有具有不同费米能级的Fe₃O₄和CoAl-LDHs两 相。可见光照射产生的电子和空穴会在Fe₃O₄和 CoAl-LDHs之间传递。这种传输将抑制电子和空穴 的复合,并使更多的电子和空穴参与亚甲基蓝的光 降解[36]。这可能是Fe₃O₄@CoAl-LDHs 具有优异的亚 甲基蓝光降解性能的原因。

2.5.3 光降解机理

综上所述,对 Fe₃O₄@MAl-LDHs 光降解亚甲基蓝的机理进行了总结,具体如下:

首先, Fe_3O_4 @MAl-LDHs 材料被光激发的电子从 VB跃迁到 CB,产生光生电子(e¯)和空穴(h⁺)(式**8**)。 Fe_3O_4 的负载窄化了 LDHs 的禁带宽度,提高了光能的利用率,同时一部分电子可向 Fe_3O_4 转移,抑制电子和空穴的复合,使更多的电子和空穴进行后续的反应与转化。其次,产生的电子—空穴对进—步与水和溶解氧反应,产生·OH和·O₂¯(式**9~13**)。最后,具有强氧化性的·OH、·O₂¯和空穴作用于亚甲基蓝的降解。

$$Fe_3O_4@MAl-LDHs \xrightarrow{h\nu} h^+ + e^-$$
 (8)

$$h^+ + H_2O \rightarrow \cdot OH + H^+$$
 (9)

$$e^- + O_2 \rightarrow \cdot O_2^-$$
 (10)

$$\cdot O_2^- + H^+ \to HOO \cdot \tag{11}$$

$$e^- + HOO \cdot + H^+ \rightarrow H_2O_2$$
 (12)

$$H_2O_2 + e^- \rightarrow \cdot OH + OH^- \tag{13}$$

Fe₃O₄增强 MAI-LDHs 光降解亚甲基蓝性能的原因如下:(1) 通过 Fe₃O₄的复合,窄化了 LDHs 的禁带宽度(从 2.57~3.11 eV 减小到 2.29~2.69 eV),从而促进对光的吸收。(2) 较大的比表面积有利于亚甲基蓝污染物的吸附及进一步的催化降解。(3) Fe₃O₄强

的光吸收,有利于电子在两相之间的转移,从而抑制光生电子和空穴的复合,促进电子和空穴进一步

作用于亚甲基蓝的降解。图 7是 Fe₃O₄@MAl-LDHs 光降解亚甲基蓝的机理示意图。

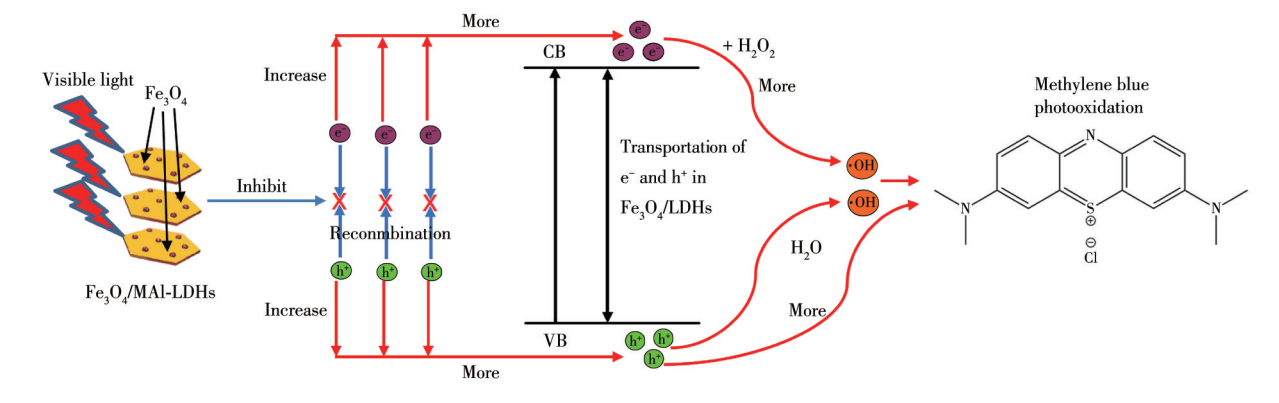


图 7 Fe₃O₄@MAl-LDHs 光降解亚甲基蓝的机理示意图

Fig.7 Schematic diagram of photodegradation mechanism of methylene blue by Fe₃O₄@MAl-LDHs

3 结 论

合成了 3 种 MAI-LDHs 及 Fe_3O_4 @MAI-LDHs(M=Zn、Co、Ni)材料,并将其用于亚甲基蓝的光降解。反应 180 min 后, Fe_3O_4 @MAI-LDHs 可将亚甲基蓝的浓度(50 mg·L⁻¹)降低至 6.4~17.5 mg·L⁻¹,而 MAI-LDHs 的仅为 38.4~41.5 mg·L⁻¹。复合材料活性顺序为 Fe_3O_4 @CoAl-LDHs> Fe_3O_4 @NiAl-LDHs> Fe_3O_4 @ZnAl-LDHs,与禁带宽度及比表面积趋势一致。

动力学研究表明,催化剂用量对 CoAl-LDHs 的影响最大,其次是 pH值,光照强度的影响最小。而 Fe_3O_4 @CoAl-LDHs 的影响因素依次为 pH值>光照强度>催化剂用量。两者催化亚甲基蓝光降解的活化能分别为 28.0 和 14.5 kJ·moL⁻¹。较低的活化能促使 Fe_3O_4 @CoAl-LDHs 更易降解亚甲基蓝。动力学和热力学数据表明, Fe_3O_4 的复合大大提高了 LDHs 的光催化活性,并改变了降解机理。

自由基猝灭实验表明,CoAl-LDHs 对亚甲基蓝的降解主要来自·OH的贡献,而 Fe_3O_4 @CoAl-LDHs 的光降解活性主要由·OH和空穴提供。此外,CoAl-LDHs 和 Fe_3O_4 @CoAl-LDHs 的电化学性质也存在较大差异。

Supporting information is available at http://www.wjhxxb.cn

参考文献:

[1]Feng M B, Dionysiou D D, Sharma V K. Black Phosphorous-Based Nanostructures in Environmental Remediation: Current Status and Future Perspectives. Chem. Eng. J., 2020,389:123460

- [2]Nguyen V Q, Baynosa M L, Nguyen V H, Tuma D, Lee Y R, Shim J J. Solvent-Driven Morphology-Controlled Synthesis of Highly Efficient Long-Life ZnO/Graphene Nanocomposite Photocatalysts for the Practical Degradation of Organic Wastewater under Solar Light. Appl. Surf. Sci., 2019,486:37-51
- [3]Yu S J, Wang X X, Pang H W, Zhang R, Song W C, Fu D, Hayat T, Wang X K. Boron Nitride-Based Materials for the Removal of Pollutants from Aqueous Solutions: A Review. Chem. Eng. J., 2018,333:343-360
- [4]张连阳, 吴俊杰, 孟跃, 夏盛杰. 用于光降解罗丹明 B 及光解水制 氢的直接 Z 型异质结 CeO_2 @NiAl-LDHs: 性能及机理. 无机化学学报, **2021,37**(2):316-326
 - ZHANG L J, WU J J, MENG Y, XIA S J. Direct Z-Scheme Heterojunction CeO₂@NiAl-LDHs for Photodegradation of Rhodamine B and Photocatalytic Hydrogen Evolution: Performance and Mechanism. Chinese J. Inorg. Chem., 2021,37(2):316-326
- [5]Bagheri N, Lakouraj M M, Hasantabar V, Mohseni M. Biodegradable Macro-porous CMC-Polyaniline Hydrogel: Synthesis, Characterization and Study of Microbial Elimination and Sorption Capacity of Dyes from Waste Water. J. Hazard. Mater., 2021,403:123631
- [6]Shi W L, Ren H J, Huang X L, Li M Y, Tang Y B, Guo F. Low Cost Red Mud Modified Graphitic Carbon Nitride for the Removal of Organic Pollutants in Wastewater by the Synergistic Effect of Adsorption and Photocatalysis. Sep. Purif. Technol., 2020,237:116477
- [7]Li Q, Zhao T T, Li M, Li W T, Yang B, Qin D R, Lv K L, Wang X, Wu L M, Wu X F, Sun J. One-Step Construction of Pickering Emulsion via Commercial TiO₂ Nanoparticles for Photocatalytic Dye Degradation. Appl. Catal. B-Environ., 2019,249:1-8
- [8]Li Y X, Hou Y L, Fu Q Y, Peng S Q, Hu Y H. Oriented Growth of ZnIn₂S₄/In(OH)₃ Heterojunction by a Facile Hydrothermal Transformation for Efficient Photocatalytic H₂ Production. Appl. Catal. B -Environ., 2017,206:726-733
- [9]Li Y X, Han P, Hou Y L, Peng S Q, Kuang X J. Oriented Zn_mIn₂S_{m+3} @In₂S₃ Heterojunction with Hierarchical Structure for Efficient Photocatalytic Hydrogen Evolution. *Appl. Catal. B-Environ.*, 2019,244:604-611
- [10]Zhang L Y, Meng Y, Dai T T, Yao Y Y, Shen H, Xie B, Ni Z M, Xia S J. Fabrication of a Coated BiVO₄@LDHs Z-Scheme Heterojunction

- and Photocatalytic Degradation of Norfloxacin. Appl. Clay Sci., 2022, 219:106435
- [11]Zhang W J, Meng Y, Liu Y H, Shen H, Ni Z M, Xia S J, Han W F, Li Y, Tang H D. Boosted Photocatalytic Degradation of Norfloxacin on LaOCl/LDH: Synergistic Effect of Z-Scheme Heterojunction and O Vacancies. J. Environ. Chem. Eng., 2022,10:107812
- [12]Zhao Y F, Zhao Y X, Waterhouse G I N, Zheng L R, Cao X Z, Teng F, Wu L Z, Tung C H, O'Hare D, Zhang T R. Layered Double Hydroxide Nanosheets as Efficient Visible-Light-Driven Photocatalysts for Dinitrogen Fixation. Adv. Mater., 2017,29(42):1703828
- [13]Mohapatra L, Parida K J. A Review on the Recent Progress, Challenges and Perspective of Layered Double Hydroxides as Promising Photocatalysts. J. Mater. Chem. A, 2016,4(28):10744-10766
- [14]Jin X J, Koizumi Y, Mizuno K N. Selective Synthesis of Primary Anilines from Cyclohexanone Oximes by the Concerted Catalysis of a Mg-Al Layered Double Hydroxide Supported Pd Catalyst. J. Am. Chem. Soc., 2017,139(39):13821-13829
- [15]Liang X Y, Yang X Z, Gao G J, Li C F, Li Y Y, Zhang W D, Chen X T, Zhang Y B, Zhang B B, Lei Y Q, Shi Q Q. Performance and Mechanism of CuO/CuZnAl Hydrotalcites ZnO for Photocatalytic Selective Oxidation of Gaseous Methanol to Methyl Formate at Ambient Temperature. J. Catal., 2016,339:68-76
- [16]Xu S M, Yan H, Wei M. Band Structure Engineering of Transition-Metal-Based Layered Double Hydroxides toward Photocatalytic Oxygen Evolution from Water: A Theoretical-Experimental Combination Study. J. Phys. Chem. C, 2017,121(5):2683-2695
- [17]Zhu J Y, Zhu Z L, Zhang H, Lu H T, Qiu Y L, Zhu L Y, Küppersc S. Enhanced Photocatalytic Activity of Ce-Doped Zn-Al Multi-metal Oxide Composites Derived from Layered Double Hydroxide Precursors. J. Colloid Interface Sci., 2016,481:144-157
- [18]Liu X, Zhao X F, Zhu Y, Zhang F Z. Experimental and Theoretical Investigation into the Elimination of Organic Pollutants from Solution by Layered Double Hydroxides. Appl. Catal. B-Environ., 2013, 140:241-248
- [19]Iqbal K, Iqbal A, Kirillov A M, Wang B K, Liu W S, Tang Y. A New Ce-Doped MgAl-LDH@Au Nanocatalyst for Highly Efficient Reductive Degradation of Organic Contaminants. J. Mater. Chem. A, 2017,5 (14):6716-6724
- [20]Meng Y, Chen Y F, Zhou X B, Pan G X, Xia S J. Experimental and Theoretical Investigations into the Activity and Mechanism of the Water-Gas Shift Reaction Catalyzed by Au Nanoparticles Supported on Zn-Al/Cr/Fe Layered Double Hydroxides. *Int. J. Hydrog. Energy*, 2020,45(1):464-476
- [21]Jing H Y, Wen T, Fan C M, Gao G Q, Zhong S L, Xu A W. Efficient Adsorption/Photodegradation of Organic Pollutants from Aqueous Systems Using Cu₂O Nanocrystals as a Novel Integrated Photocatalytic Adsorbent. J. Mater. Chem. A, 2014,2(35):14563-14570
- [22]Casillas J E, Tzompantzi F, Castellanos S G, Mendoza-Damián G, Pérez-Hernández R, López-Gaonab A, Barreraa A. Promotion Effect of ZnO on the Photocatalytic Activity of Coupled Al₂O₃-Nd₂O₃-ZnO Composites Prepared by the Sol-Gel Method in the Degradation of Phenol. Appl. Catal. B-Environ., 2017,208:161-170
- [23]Zhang G H, Meng Y, Xie B, Ni Z M, Lu H F, Xia S J. Precise Loca-

- tion and Regulation of Active Sites for Highly Efficient Photocatalytic Synthesis of Ammonia by Facet-Dependent BiVO₄ Single Crystals. Appl. Catal. B-Environ., **2021,296**:120379
- [24]Yuan X X, Yang J Y, Yao Y Y, Shen H, Meng Y, Xie B, Ni Z M, Xia S J. Preparation, Characterization, and Mechanism of OD/2D Cu₂O/BiOCl Z-Scheme Heterojunction for Efficient Photocatalytic Degradation of Tetracycline. Sep. Purif. Technol., 2022,291:120965
- [25]Zhang X W, Wang F, Wang C C, Wang P, Fu H F, Chen Z. Photocatalysis Activation of Peroxodisulfate over the Supported Fe₃O₄ Catalyst Derived from MIL-88A (Fe) for Efficient Tetracycline Hydrochloride Degradation. Chem. Eng. J., 2021,426:131927
- [26]Zhang W J, Meng Y, Liu Y H, Shen H, Ni Z M, Xia S J, Han W F, Li Y, Tang H D. Boosted Photocatalytic Degradation of Norfloxacin on LaOCI/LDH: Synergistic Effect of Z-Scheme Heterojunction and O Vacancies. J. Environ. Chem. Eng., 2022,10:107812
- [27]Kumar A, Rana A, Sharma G, Naushad M, Al-Muhtaseb A L, Guo C S, Iglesias Juez A, Stadler F J. High Performance Photocatalytic Hydrogen Production and Degradation of Levofloxacin by Wide Spectrum Responsive Ag/Fe₃O₄ Bridged SrTiO₃/g C₃N₄ Plasmonic Nanojunctions: Joint Effect of Ag and Fe₃O₄. ACS Appl. Mater. Interfaces, 2018,10(47):40474-40490
- [28]Yang C, Zhang G H, Meng Y, Pan G X, Ni Z M, Xia S J. Direct Z-Scheme CeO₂@LDH Core-Shell Heterostructure for Photodegradation of Rhodamine B by Synergistic Persulfate Activation. J. Hazard. Mater., 2021,408:124908
- [29]Zhang G H, Dai T T, Meng Y, Xie B, Ni Z M, Xia S J. Modulation of Photo - Generated Solvated Electrons for Ammonia Synthesis via Facet - Dependent Engineering of Heterojunctions. Appl. Catal. B-Environ., 2021,288:119990
- [30]Yu J G, Liu S W, Yu H G. Microstructures and Photoactivity of Mesoporous Anatase Hollow Microspheres Fabricated by Fluoride-Mediated Self-Transformation. J. Catal., 2007,249(1):59-66
- [31]Al-Wadaani F, Kozhevnikova E F, Kozhevnikov I V. Pd Supported on Zn^{II} - Cr^{III} Mixed Oxide as a Catalyst for One-Step Synthesis of Methyl Isobutyl Ketone. J. Catal., 2008,257(1):199-205
- [32]Zhang G H, Zhang X Q, Meng Y, Pan G X, Ni Z M, Xia S J. Layered Double Hydroxides-Based Photocatalysts in Visible-Light Photodegradation of Organic Pollutants: A Review. Chem. Eng. J., 2020,392: 123684
- [33]Zhang L Y, Meng Y, Shen H, Li J H, Yang C F, Xie B, Xia S J. High Efficiency Photocatalytic Ammonia Synthesis by Facet Orientation Supported Heterojunction Cu₂O@BiOCl[100] Boosted by Double Built-in Electric Field. *Inorg. Chem.*, 2022,61(16):6045-6055
- [34]Wang G, Wang Q, Lu W, Li J H. Photoelectrochemical Study on Charge Transfer Properties of TiO₂-B Nanowires with an Application as Humidity Sensors. J. Phys. Chem. B, 2006,110(43):22029-22034
- [35]Tu X M, Luo S L, Chen G X, Li J H. One-Pot Synthesis, Characterization, and Enhanced Photocatalytic Activity of a BiOBr-Graphene Composite. Chem. Eur. J., 2012,18(45):14359-14366
- [36]Zhang G H, Yuan X X, Xie B, Meng Y, Ni Z M, Xia S J. S Vacancies Act as A Bridge to Promote Electron Injection from Z - Scheme Heterojunction to Nitrogen Molecule for Photocatalytic Ammonia Synthesis. Chem. Eng. J., 2022,433:133670